

Ο ΚΑΝΟΝΙΣΜΟΣ ΕΠΕΜΒΑΣΕΩΝ (ΚΑΝ.ΕΠΕ.)

ΣΕΜΙΝΑΡΙΟ ΕΝΗΜΕΡΩΣΗΣ ΟΑΣΠ (Μέρος Β)

Στέφανος Η. Δρίτσος
Πανεπιστήμιο Πατρών

ΟΑΣΠ, Αθήνα 15/1/10

1

ΚΕΦΑΛΑΙΟ 8 – ΔΙΑΣΤΑΣΙΟΛΟΓΗΣΗ ΕΠΕΜΒΑΣΕΩΝ

Γενικές Απαιτήσεις

Επεμβάσεις σε Δομικά Στοιχεία

- Επεμβάσεις σε Κρίσιμες Περιοχές Ραβδόμορφων Δομικών Στοιχείων
- Επεμβάσεις σε Κόμβους Πλαισίων
- Επεμβάσεις σε Τοιχώματα
- Επεμβάσεις σε Στοιχεία Θεμελίωσης

Επεμβάσεις στο Σύνολο του Φορέα

- Εμφάνιση Πλαισίων
- Προσθήκη Νέων Παράπλευρων Τοιχωμάτων

ΚΕΦΑΛΑΙΟ 8 – ΔΙΑΣΤΑΣΙΟΛΟΓΗΣΗ ΕΠΕΜΒΑΣΕΩΝ ΠΕΡΙΕΧΟΜΕΝΑ

8.1 Γενικές Απαιτήσεις

- Έλεγχος διεπιφανειών

8.2 Επεμβάσεις σε Κρίσιμες Περιοχές Ραβδόμορφων Δομικών Στοιχείων

- Επεμβάσεις με στόχο την αύξηση της ικανότητας έναντι μεγεθών ορθής έντασης
- Επεμβάσεις με στόχο την αύξηση της φέρουσας ικανότητας έναντι τέμνουσας
- Επεμβάσεις με στόχο την αύξηση της τοπικής πλαστιμότητας
- Επεμβάσεις με στόχο την αύξηση της δυσκαμψίας

8.3 Επεμβάσεις σε Κόμβους Πλαισίων

- Ανεπάρκεια λόγω διαγώνιας θλίψης κόμβου
- Ανεπάρκεια οπλισμού κόμβου

8.4 Επεμβάσεις σε Τοιχώματα

- Επεμβάσεις με στόχο την αύξηση ικανότητας έναντι μεγεθών ορθής έντασης
- Επεμβάσεις με στόχο την αύξηση της φέρουσας ικανότητας τέμνουσας
- Επεμβάσεις με στόχο την αύξηση της πλαστιμότητας
- Επεμβάσεις με στόχο την αύξηση της δυσκαμψίας

8.5 Εμφάνιση Πλαισίων

- Προσθήκη απλού “γεμίματος”
- Τοιχωματοποίηση πλαισίων
- Ενίσχυση υφιστάμενων τοίχων πληρώσεως
- Προσθήκη ράβδων δικτύωσης, μετατροπή πλαισίων σε κατακόρυφα δίκτυα

8.6 Προσθήκη Νέων Παράπλευρων Τοιχωμάτων και Δικτυωμάτων

- Σύνδεσμοι
- Θεμελίωση νέων τοιχωμάτων
- Διαφράγματα

8.7 Επεμβάσεις σε Στοιχεία Θεμελίωσης

ΑΝΑΣΧΕΔΙΑΣΜΟΣ → ΘΕΜΑ ΔΥΣΚΟΛΟΤΕΡΟ ΑΠΟ ΤΟΝ ΣΧΕΔΙΑΣΜΟ ΝΕΩΝ ΚΤΙΡΙΩΝ

- Απαιτείται καλή γνώση των μέσων που διατίθενται για επεμβάσεις

•Υλικά και Τεχνολογίες Επεμβάσεων

- Ειδικοί Τύποι Σκυροδέματος
- Πολυμερικές Κόλες (ρητίνες)
- Επισκευαστικά Κονιάματα
- Επικολητά Φύλλα από Χάλυβα ή Ινοπλισμένα Πολυμερή (FRP)
- Διατμητικοί Σύνδεσμοι (Βαήτρα) - Αγκύρια
- Αγκυρώσεις και Συγκολλήσεις Νέων Ράβδων Οπλισμού

•Ειδικότερες Τεχνικές για :

- Υποστρώματα
- Τοιχώματα
- Δοκούς
- Πλάκες
- Κόμβους Δοκών-Υποστρωμάτων
- Στοιχεία Θεμελίωσης

✓ Χρήση νέων υλικών υπό διερεύνηση

✓ Μικρή ή και αρνητική εξειδίκευση και εμπειρία συνεργείων

- Χρήση ΠΙΕΤΕΠ (www.iok.gr)

- Κατασκευαστικές Διατάξεις

4

**ΠΡΟΣΩΡΙΝΕΣ ΕΘΝΙΚΕΣ ΤΕΧΝΙΚΕΣ ΠΡΟΔΙΑΓΡΑΦΕΣ
(ΠΕΤΕΠ)**

Εργασίες Αποκατάστασης Ζημιών Κατασκευών
από τον Σεισμό και λοιπούς Βλαπτικούς Παράγοντες

Τεχνικό Επιμελητήριο Ελλάδας
Αθήνα 2008



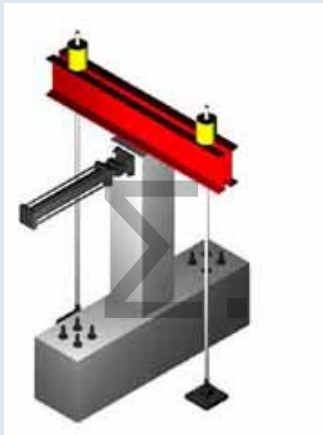
Εκτράχυνση με Αμμοβολή



Προετοιμασία Επιφάνειας με Αεροματσάκονο

ΚΕΦΑΛΑΙΟ 8 – ΔΙΑΣΤΑΣΙΟΛΟΓΗΣΗ ΕΠΕΜΒΑΣΕΩΝ

	Σκυρόδεμα	Χάλυβας	Σύνθετα
8.1 Γενικές Απαιτήσεις			
▪ Έλεγχος διεπιφανειών	Red	Blue	Yellow
8.2 Επεμβάσεις σε Κρίσιμες Περιοχές Ραβδόμορφων Δομικών Στοιχείων			
▪ Επεμβάσεις με στόχο την αύξηση της ικανότητας έναντι μεγεθών ορθής έντασης	Red	Blue	Yellow
▪ Επεμβάσεις με στόχο την αύξηση της φέρουσας ικανότητας έναντι τέμνουσας	Red	Blue	Yellow
▪ Επεμβάσεις με στόχο την αύξηση της τοπικής πλαστιμότητας	Red	Blue	Yellow
▪ Επεμβάσεις με στόχο την αύξηση της δυσκαμψίας	Red	Blue	Yellow
8.3 Επεμβάσεις σε Κόμβους Πλαισίων			
▪ Ανεπάρκεια λόγω διαγώνιας θλίψης κόμβου	Red	Blue	Yellow
▪ Ανεπάρκεια οπλισμού κόμβου	Red	Blue	Yellow
8.4 Επεμβάσεις σε Τοιχώματα			
▪ Επεμβάσεις με στόχο την αύξηση ικανότητας έναντι μεγεθών ορθής έντασης	Red	Blue	Yellow
▪ Επεμβάσεις με στόχο την αύξηση της φέρουσας ικανότητας τέμνουσας	Red	Blue	Yellow
▪ Επεμβάσεις με στόχο την αύξηση της τοπικής πλαστιμότητας	Red	Blue	Yellow
▪ Επεμβάσεις με στόχο την αύξηση της δυσκαμψίας	Red	Blue	Yellow
8.5 Εμφάνιση Πλαισίων			
▪ Προσθήκη απλού "γεμίματος"	Red	Blue	Yellow
▪ Τοιχωματοποίηση πλαισίων	Red	Blue	Yellow
▪ Ενίσχυση υφιστάμενων τοίχων πληρώσεως	Red	Blue	Yellow
▪ Προσθήκη ράβδων δικτύωσης, μετατροπή πλαισίων σε κατακόρυφα δικτυώματα	Red	Blue	Yellow
8.6 Προσθήκη Νέων Παράπλευρων Τοιχωμάτων και Δικτυωμάτων			
▪ Σύνδεσμοι	Red	Blue	Yellow
▪ Θεμελίωση νέων τοιχωμάτων	Red	Blue	Yellow
▪ Διαφράγματα	Red	Blue	Yellow
8.7 Επεμβάσεις σε Στοιχεία Θεμελίωσης			



9



Βλάβες σε Δοκίμιο με Εκτοξευόμενο Σκυρόδεμα και Βλήτρα

10



Βλάβες σε Δοκίμιο με Έγχοτο Σκυρόδεμα, Λεία Διεπιφάνεια χωρίς Διατμητικούς Συνδέσμους

11

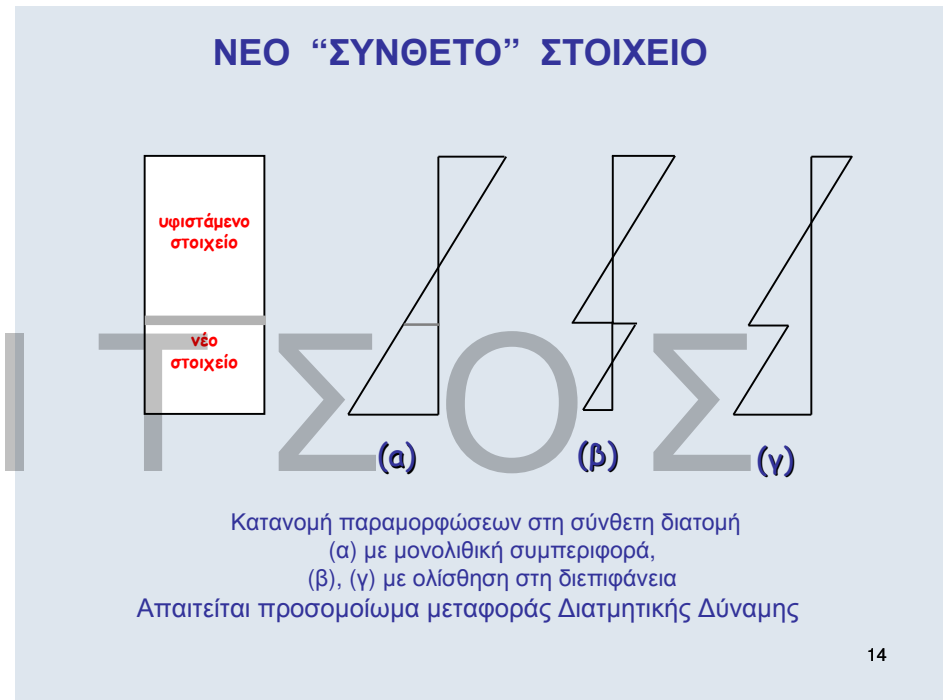
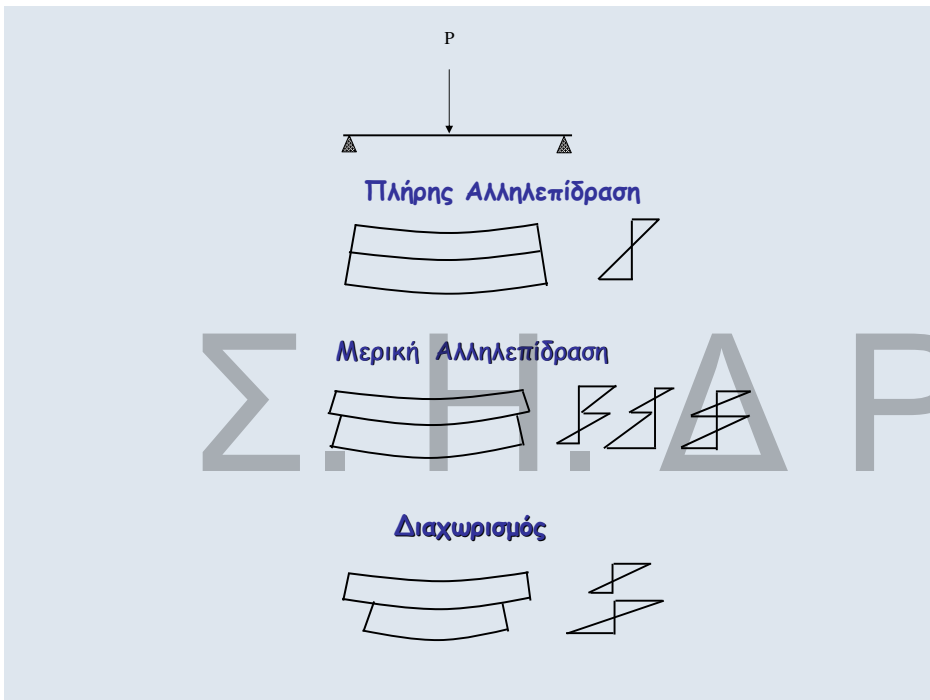
ΕΛΕΓΧΟΣ ΣΥΝΕΡΓΑΣΙΑΣ ΣΤΗ ΔΙΕΠΙΦΑΝΕΙΑ Ανίσωση Ασφαλείας

$$R_{id} \geq S_{id}$$

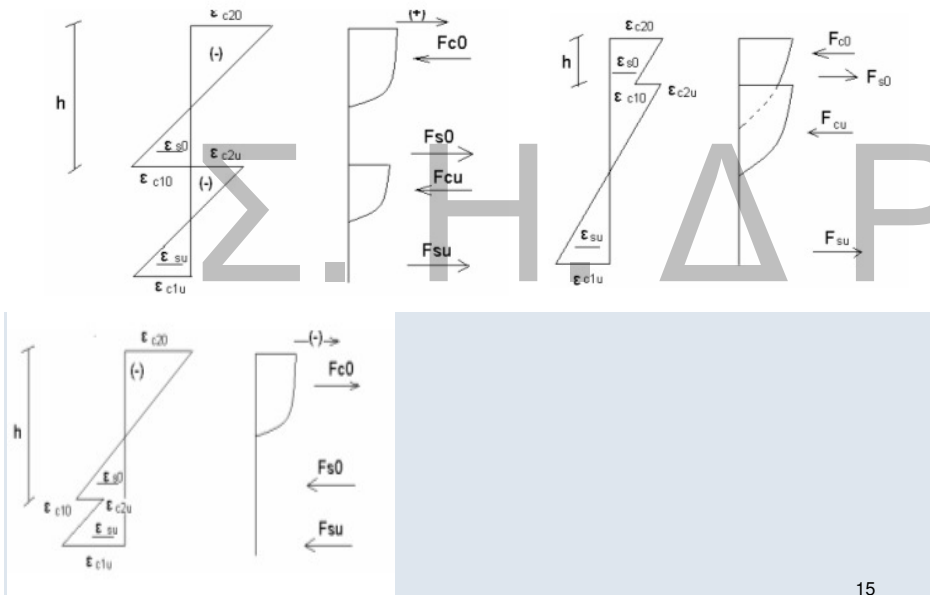
Αντίσταση Διεπιφάνειας
(σε θλίψη, σε εφελκυσμό, διατμητική)
(βλ. Κεφ.6)

Εντατικά Μεγέθη
που δρουν στη διεπιφάνεια

- Ελάχιστα και Μέγιστα

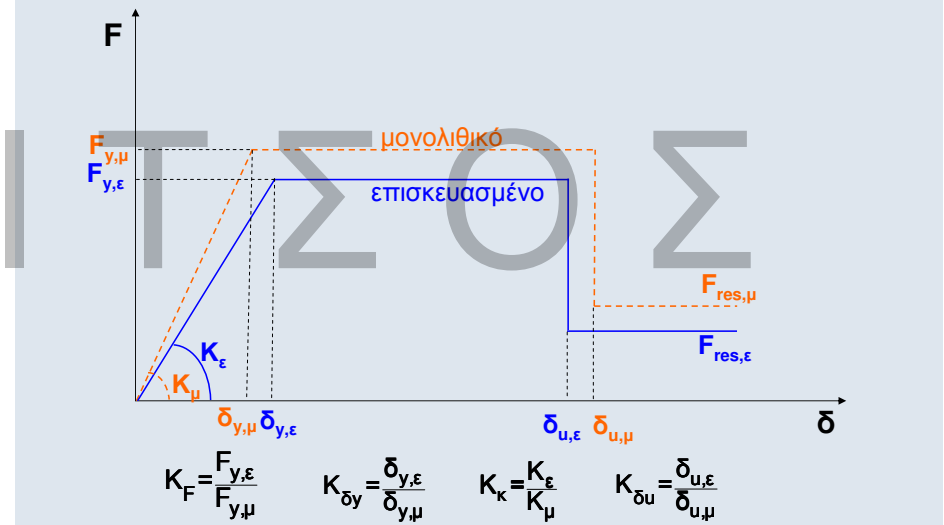


Πιθανή Κατανομή Παραμορφώσεων και Τάσεων



Πόσο θα ήταν το λάθος αν θεωρούσαμε μονολιθική συμπεριφορά;

ΚΑΜΠΥΛΕΣ ΕΝΤΑΤΙΚΟΥ ΜΕΓΕΘΟΥΣ-ΠΑΡΑΜΟΡΦΩΣΗΣ ΜΕ ΕΠΙΣΚΕΥΑΣΜΕΝΑ ΣΤΟΙΧΕΙΑ



ΣΥΝΤΕΛΕΣΤΕΣ ΜΟΝΟΛΙΘΙΚΟΤΗΤΑΣ

$$k_k = \frac{\text{Δυσκαμψία πραγματικού σύνθετου στοιχείου}}{\text{Δυσκαμψία μονολιθικού στοιχείου}}$$

$$k_r = \frac{\text{Αντοχή πραγματικού σύνθετου στοιχείου}}{\text{Αντοχή μονολιθικού στοιχείου}}$$

$$k_k \leq k_r \leq 1,0$$

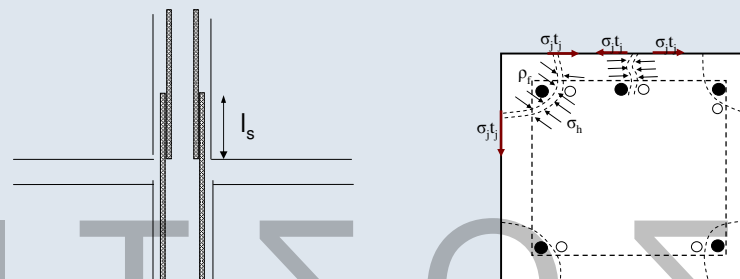
$$k_\mu = \frac{\text{Πλαστιμότητα πραγματικού σύνθετου στοιχείου}}{\text{Πλαστιμότητα μονολιθικού στοιχείου}}$$

$$k_{\delta\omega} = \frac{\text{Οριακή παραμόρφωση πραγματικού σύνθετου στοιχείου}}{\text{Οριακή παραμόρφωση μονολιθικού στοιχείου}}$$

Προσεγγιστική Μέθοδος Μονολιθικής Συμπεριφοράς

Αντοχή, Πλαστιμότητα, Δυσκαμψία, Ικανότητα Παραμόρφωσης Ενισχυμένου Στοιχείου = k_i (Αντοχή, Πλαστιμότητα, Δυσκαμψία, Ικανότητα Παραμόρφωσης Μονολιθικού Στοιχείου)

ΑΠΟΚΑΤΑΣΤΑΣΗ ΙΚΑΝΟΤΗΤΑΣ ΠΕΡΙΟΧΗΣ ΜΕ ΜΕΙΩΜΕΝΑ ΜΗΚΗ ΜΑΤΙΣΜΕΝΩΝ ΡΑΒΔΩΝ



$$T_{\alpha\pi} = (1-\lambda_s) A_b f_s$$

$$T = \mu(\rho_f l_s) \sigma_h \rightarrow \sigma_{h, \alpha\pi} = \frac{(1-\lambda_s) A_b f_s}{\mu \rho_f l_s}$$

$$\sigma_j t_j = \sigma_h B \quad \text{όπου:} \quad \beta = \rho_f / B$$

$$t_{j, \alpha\pi} = \frac{(1-\lambda_s) A_b f_s}{\beta \mu l_s \sigma_j}$$

Για Γωνιακές Ράβδους

$$\left(\frac{A_j}{s} \right)_{\alpha\pi} = \left[k_1 \left(\frac{f_{sy} d_s}{f_c l_s} \right) - 0,4 \frac{c}{d_s} - 0,30 \right]^2 \frac{f_c^2 \cdot d_s^2}{k_2 \cdot E_j \cdot f_{ctm}}$$

$$A_j / s = t_j \quad \text{για συνεχή μανδύα}$$

$k_1 = 1,7$ για στάθμη επιτελεστικότητας A

$= 1,5$ για στάθμη επιτελεστικότητας B ή Γ

$k_2 = 0,3$

$$\frac{c}{d_s} \geq 2$$

ΕΝΙΣΧΥΣΗ ΕΦΕΛΚΥΟΜΕΝΗΣ ΖΩΝΗΣ

- Προσθήκη Ελασμάτων (χάλυβα ή ΙΟΠ) ή υφασμάτων από ΙΟΠ στο εφελκόμενο πέλμα
- Προσθήκη Νέας Στρώσης Οπλισμένου Σκυροδέματος στο εφελκόμενο ή στο θλιβόμενο πέλμα

ΕΝΙΣΧΥΣΗ ΘΛΙΒΟΜΕΝΗΣ ΖΩΝΗΣ

- Προσθήκη Νέας Στρώσης Οπλισμένου Σκυροδέματος στο εφελκόμενο ή στο θλιβόμενο πέλμα

ΣΥΓΧΡΟΝΗ ΕΝΙΣΧΥΣΗ ΕΦΕΛΚΥΟΜΕΝΗΣ ΚΑΙ ΘΛΙΒΟΜΕΝΗΣ ΖΩΝΗΣ

- Συνιστάται η χρήση μανδύων

Καμπτική Ενίσχυση

Building Klinkerstr, Amsterdam



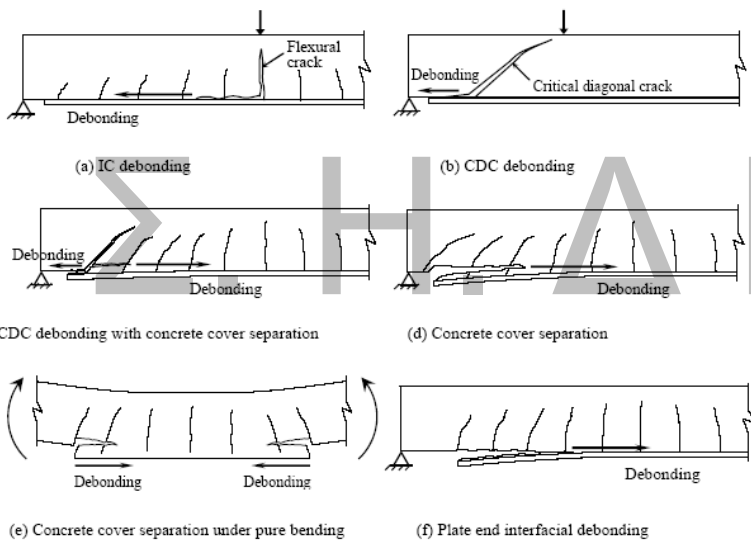
ΠΡΟΣΘΗΚΗ ΕΛΑΣΜΑΤΩΝ Η ΥΦΑΣΜΑΤΩΝ

- Το υφιστάμενο στοιχείο πρέπει να μπορεί να αναλάβει την ένταση από μόνιμα φορτία
- Στην φάση αστοχίας να έχει διαρρέυσει ο υφιστάμενος εφελκόμενος οπλισμός
- Το υλικό ενίσχυσης θεωρείται νέος εξωτερικός οπλισμός και το στοιχείο μονολιθικό
Εφελκυστικές Δυνάμεις από την **συνολική καμπτική** ένταση
→ Νέος + Παλιός οπλισμός

Προσεγγιστικά:

$$A_j = \frac{\Delta M_{do}}{z \sigma_{jd}}$$

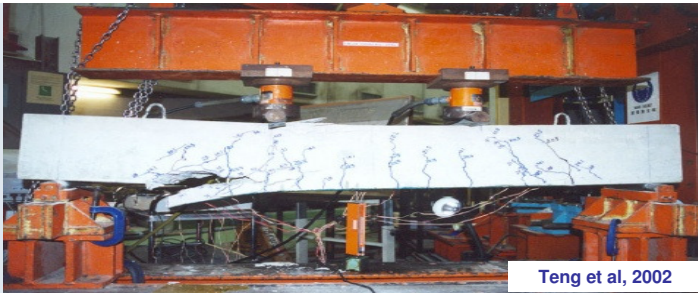
- Κατασκευαστικές Διατάξεις
πάχος, πλάτος, πλήθος στρώσεων, χρήση βλήτρων, αποστάσεις
- Όχι σε περιοχές αλλαγής προσήμου της ροπής



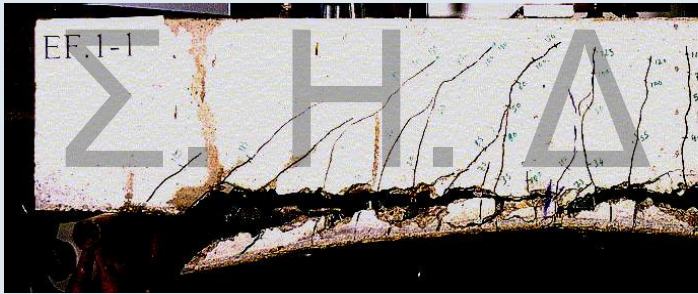
Teng et al, 2002



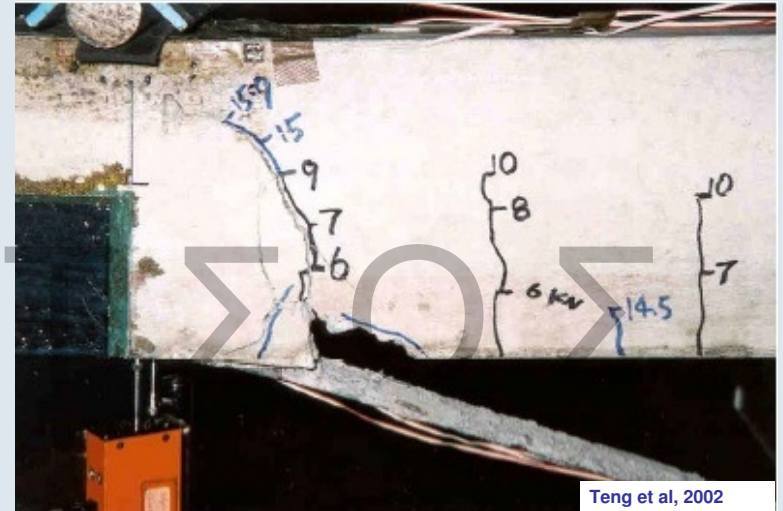
Αναλαμβανόμενη δύναμη επικολητών φύλλων συναρτήσει του μήκους αγκύρωσης



Teng et al, 2002

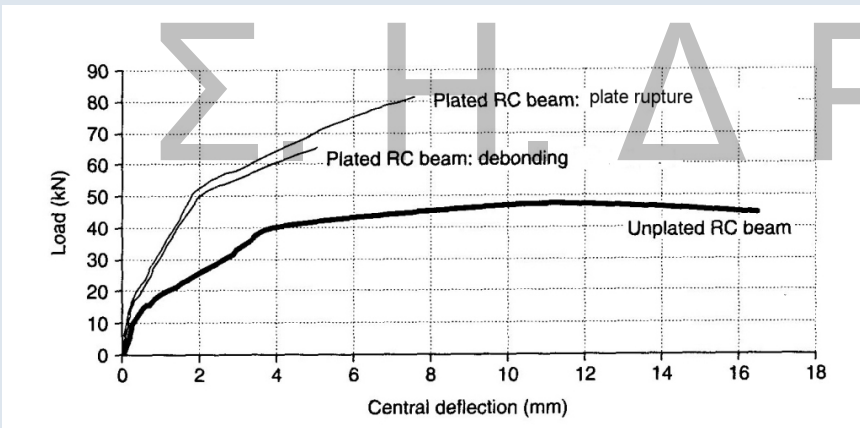


Απόσχιση επικάλυψης σκυροδέματος στο πέρασ του σύνθετου υλικού



Teng et al, 2002

Διάγραμμα Φορτίου-Βύθισης για Δοκούς Ενισχυμένες με Επικολητά Ελάσματα



Τάση Σχεδιασμού Υλικού Ενίσχυσης

$$\sigma_{jd} = \dots$$

Πιθανές Μορφές Αστοχίας

- Θραύση του υλικού ενίσχυσης: $\sigma_{jd} = \frac{1}{\gamma_m} \cdot f_{jk}$
- Πρόωρη αποκόλληση του υλικού ενίσχυσης (στα άκρα ή σε ενδιάμεσες θέσεις): $\sigma_j = \frac{\sigma_{j,crit}}{\gamma_{Rd}} \quad \gamma_{Rd} = 1,2$

$$\sigma_{j,crit} = \beta \frac{\tau_{\text{αποκ.}}}{t_j} L_e$$

$$\beta = \beta_w \cdot \beta_L$$

Διορθωτικός συντελεστής

$$L_e = \sqrt{\frac{E_j t_j}{2f_{ctm}}}$$

Ενεργό μήκος αγκύρωσης

β_w : Επιρροή πλάτους οπλισμού ενίσχυσης

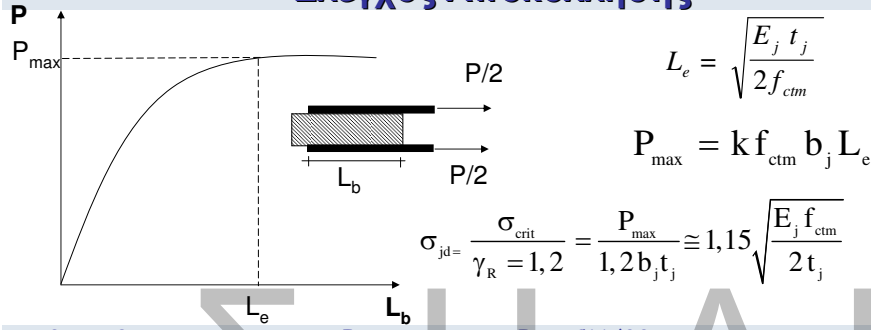
β_L : Επιρροή διατιθέμενου μήκους αγκύρωσης

$$t_j = \psi \cdot k \cdot t_{j1}$$

t_{j1} : πάχος στρώσης

$$\psi = k^{-1/4} \quad \text{για } k \geq 4$$

Έλεγχος Αποκόλλησης



Ας θεωρηθεί η περίπτωση μίας δοκού από σκυρόδεμα C16/20 που ενισχύεται στο εφελκυσμένο πέλας με ένα έλασμα ΙΟΠ-Ανθρακα, πάχους $t_j=1mm$ και πλάτους $b_j=1/2b_w$. Εξετάζοντας την 2η μορφή αστοχίας λαμβάνεται:

$$f_{ctm} \cong 0.3 f_{ck}^{2/3} = 0.316^{2/3} = 1.92 \text{ MPa} \text{ και}$$

$$\sigma_{j,crit} = 1.15 \sqrt{\frac{200 \times 1.92 \times 10^3}{2}} = 504 \text{ MPa}$$

Χρήσιμη τεχνική για ενισχύσεις γύρω από νέα ανοίγματα σε πλάκες, τοιχώματα

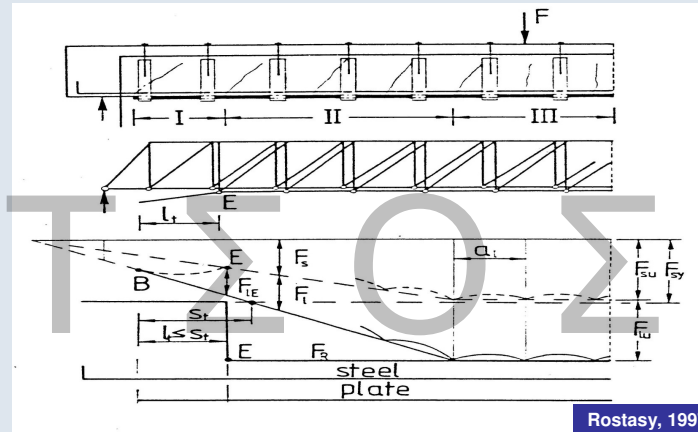
$$t_j \uparrow \Rightarrow \sigma_{j,crit} \downarrow$$

29

Έλεγχος Απόσχισης Άκρου

$$V_{sd, απολ.} \leq V_{cd, απολ.}$$

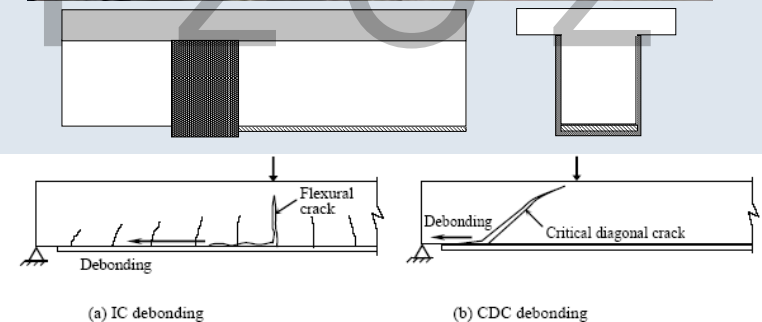
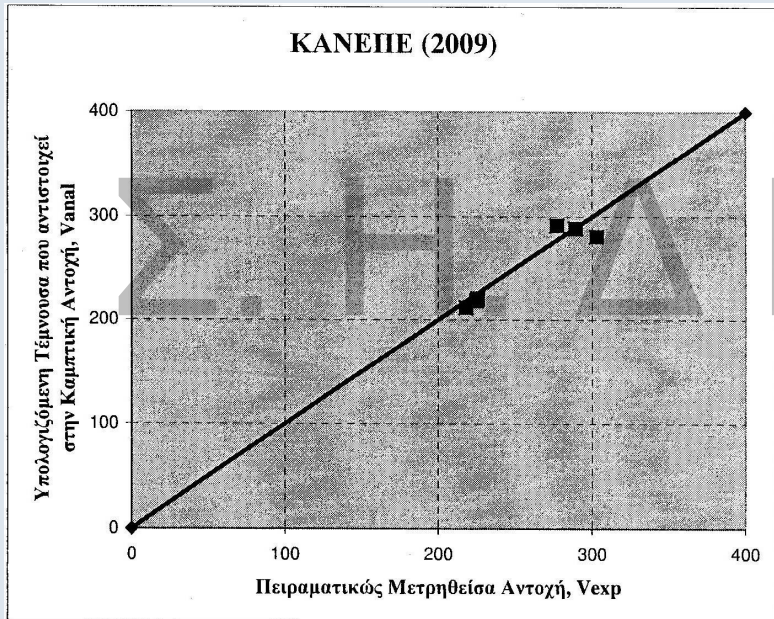
$$M_{sd, απολ.} \leq 0.67 M_{Rd, απολ.}$$



$$V_{sdj} = \frac{A_j \sigma_{jd}}{A_{so} f_{ydo} + A_j \sigma_{jd}} V_{sd, απολ.}$$

30

ΚΑΝΕΠΕ (2009)

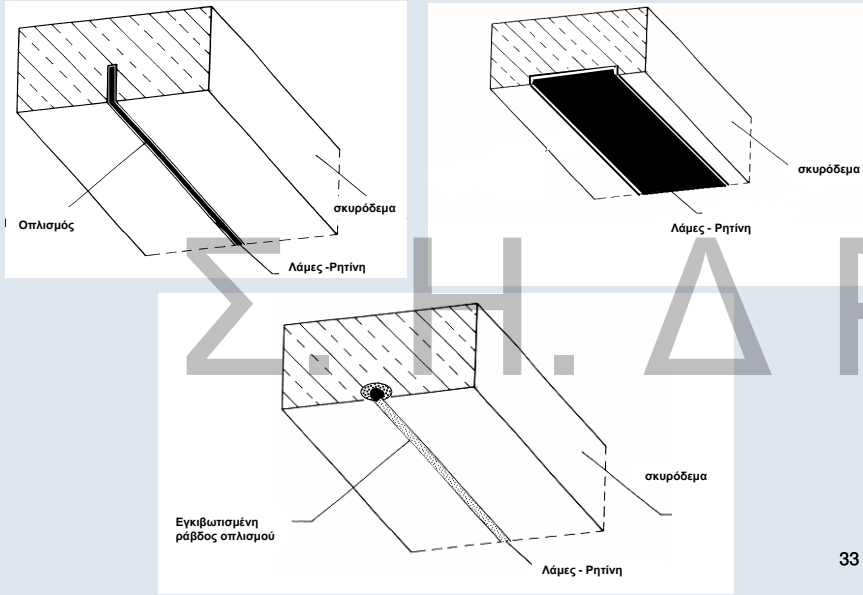


Χρήση στοιχείων αγκύρωσης στα άκρα

32

Καμπτική Ενίσχυση με Οπλισμούς εντός “Αυλακιών”

(Δεν καλύπτεται από τον ΚΑΝ.ΕΠΕ.)



33

ΠΡΟΣΘΗΚΗ ΝΕΑΣ ΣΤΡΩΣΗΣ ΣΚΥΡΟΔΕΜΑΤΟΣ

Εκτίμηση ικανότητας

- Με συνεκτίμηση της ολίσθησης
- Προσεγγιστικά με χρήση συντελεστών μονολιθικότητας

Για πλάκες:

$$k_k = 0,85$$

$$k_r = 0,95$$

$$k_{\theta y} = 1,15$$

$$k_{\theta u} = 0,85$$

Για λοιπά στοιχεία:

$$k_k = 0,80$$

$$k_r = 0,85$$

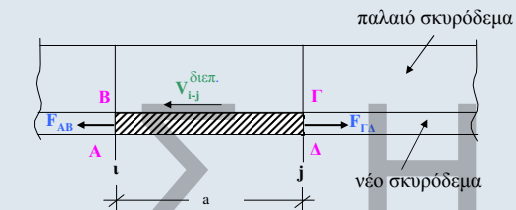
$$k_{\theta y} = 1,25$$

$$k_{\theta u} = 0,75$$

34

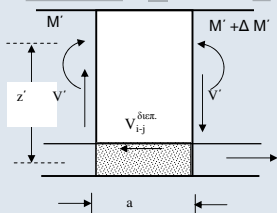
ΠΡΟΣΘΗΚΗ ΝΕΑΣ ΣΤΡΩΣΗΣ ΣΚΥΡΟΔΕΜΑΤΟΣ

Έλεγχος Διεπεφανειών - Αγκυρώσεων



$$V_{i-j}^{διεπ.} = F_{AB} - F_{GA}$$

ή



$$V_{i-j}^{διεπ.} = \frac{\Delta M'}{z'} = V' \frac{a}{z'}$$

$M', V' =$ Ροπή, Τέμνουσα λόγω δράσεων μετά την επέμβαση

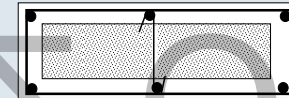
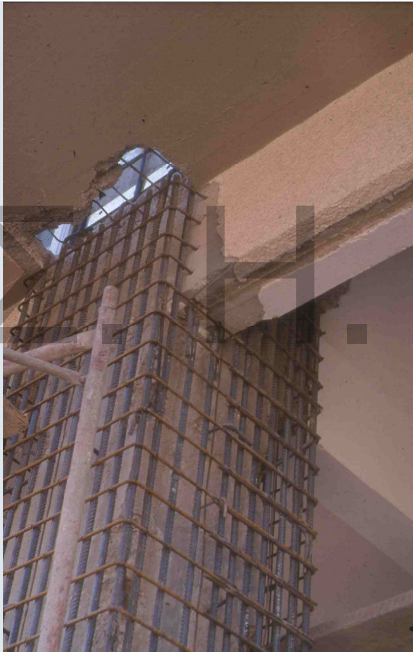
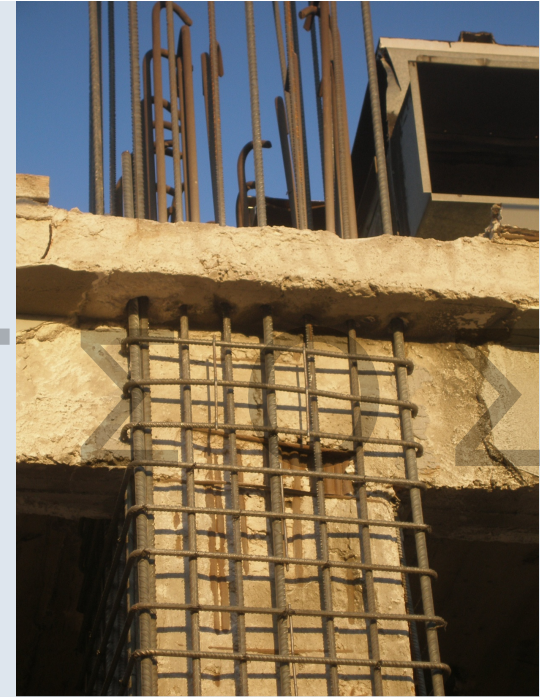
$$V_{i-j}^{διεπ.} \leq V_{Rd}^{διεπ.}$$

$$\text{Ελάχιστο Ποσοστό Βλήτρων } \rho_{\delta} = \frac{A_{sd}}{A_{\sigma\delta} \sin \alpha} \geq 0,18 \frac{f_{ctm}}{f_{yk}} \quad 35$$



36

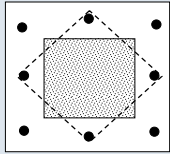
ΜΑΝΔΥΕΣ Ο.Σ.



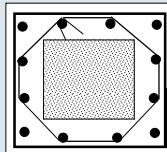
Τοποθέτηση ενδιάμεσων συνδετήρων σε επιμήκεις διατομές

Τοποθέτηση ενδιάμεσων συνδετήρων σε τετραγωνικές διατομές

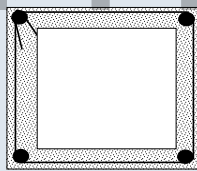
ΟΧΙ



ΝΑΙ



γωνία 45°



41



Άνοιγμα Συνδετήρων

42



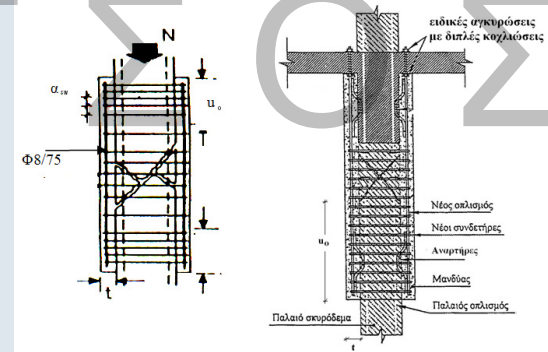
Ηλεκτροσυγκόλληση Άκρων Συνδετήρων Μανδύα 43

ΜΑΝΔΥΕΣ ΟΠΛΙΣΜΕΝΟΥ ΣΚΥΡΟΔΕΜΑΤΟΣ

Εκτίμηση Ικανότητας

Με συνεκτίμηση της σχετικής ολίσθησης στις διεπιφάνειες ή
Με χρήση συντελεστών μονολιθικότητας (Ref. 10, 12, 24)

Έλεγχος Μεταφοράς Δυνάμεων: Αρχικό Στοιχείο-Μανδύας



Ενδεικτική απεικόνιση άκρων μανδύα

- (α) Με επαρκές μήκος συναρμογής και στα δύο άκρα
- (β) Χωρίς επαρκές μήκος συναρμογής στο ένα άκρο

44

Θλίβουσα Δύναμη Μανδύα

$$F_{cm} = 4u_o \underbrace{m}_{\text{Τριβή}} f_{ctm} + 10n_b \underbrace{\frac{A_{sb}}{h_s}}_{\text{Αναρτήρες "πάπιες"}} + n_D \underbrace{F_{uD}}_{\text{Βλήτρα}}$$

Ελάχιστοι Συνδετήρες Μανδύα

ΕΚΩΣ 2000

Και $\frac{A_{sw}}{\alpha_{sw}} \geq \frac{t \cdot f_{ctm}}{f_{ywd}}$, δηλ. $\alpha_{sw} \leq 0.8 \left(\frac{f_{ywd}}{f_{ctm}} \right) \cdot \frac{d_h^2}{t}$

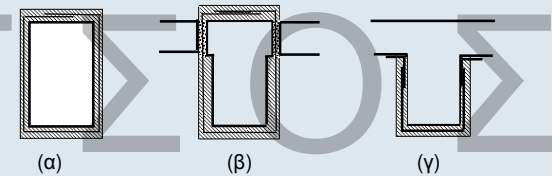
Προσεγγιστική Μέθοδος Μονολιθικής Συμπεριφοράς

$k_k = 0,80$ $k_r = 0,90$ $k_{\theta y} = 1,25$ $k_{\theta u} = 0,80$

ΑΥΞΗΣΗ ΦΕΡΟΥΣΑΣ ΙΚΑΝΟΤΗΤΑΣ ΕΝΑΝΤΙ ΤΕΜΝΟΥΣΑΣ

Ανεπάρκεια Έναντι Λοξής Θλίψης ($V_{sd} > V_{Rd2}$)

- Με περίσφιγξη $f_{ck,c} = (1,125 + 1,25a_w) f_{ck}$
- Με προσθήκη νέων στρώσεων σκυροδέματος
 - κλειστός μανδύας (συνιστάται)
 - τρίπλευρη ενίσχυση

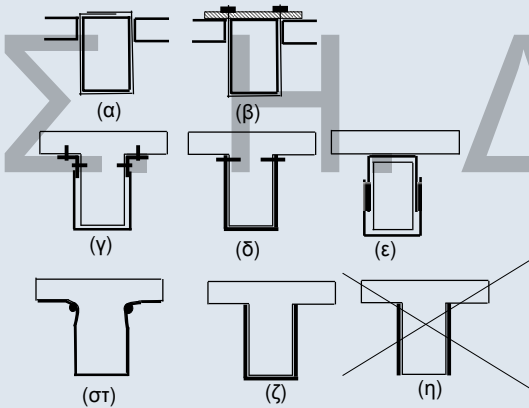


Ενδεικτικοί τρόποι ενίσχυσης σε διάτμηση έναντι ανεπάρκειας σε λοξή θλίψη: (α), (β) Κλειστές ενισχύσεις, (γ) Ανοικτές ενισχύσεις

$$V_{sd} \leq \frac{1}{V_{Rd}} (V_{Rd,r} + V_{RM})$$

Ανεπάρκεια Οπλισμού Διάτμησης ($V_{sd} > V_{Rd3}$)

- Με πρόσθετες στρώσεις σκυροδέματος
- Με εξωτερικά στοιχεία από χάλυβα ή ΙΟΠ



Ενδεικτικοί τρόποι ενίσχυσης σε διάτμηση έναντι ανεπάρκειας οπλισμού διάτμησης: (α), (β) "κλειστή" ενίσχυση, (γ), (δ), (ε), (στ) "ανοικτή" ενίσχυση με αγκυρωμένα άκρα & (ζ) "ανοικτή" ενίσχυση αποδεκτή κατά παρέκκλιση

ΑΥΞΗΣΗ V_{Rd3}

$$V_{Rd3} = V_{cd} + V_{wd} + V_{jd}$$

Παλαιοί Συνδετήρες: $V_{wd} = \frac{A_{sw}}{S_w} z f_{ywd} (\cot \theta + \cot \alpha) \sin \alpha$

Νέα Ενίσχυση: $V_{jd} = \sigma_{jd} \cdot \rho_j \cdot b_w \cdot h_{j,ef} \cdot (\cot \theta + \cot \alpha) \cdot \sin^2 \alpha$

$\rho_j = \frac{2A_j}{s_j \cdot b_w \cdot \sin \alpha}$ $A_j = t_j \cdot w_j$ $t_j = A_j / s_j$ $h_{j,ef} = 2/3 \cdot d$

Για $\theta = 45^\circ$ και $\alpha = 90^\circ$: $V_{jd} = \sigma_{jd} \cdot \rho_j \cdot b_w \cdot h_{j,ef} = \frac{2A_j}{s_j} \cdot h_{j,ef} \cdot \sigma_{jd}$

Τάση Σχεδιασμού Υλικού Ενίσχυσης

$$\sigma_{jd} = \dots ;$$

Πιθανές Μορφές Αστοχίας

- Θραύση υλικού ενίσχυσης
- Μείωση της συμβολής του σκυροδέματος (V_c) λόγω σημαντικής διεύρυνσης ανοίγματος ρωγμής
- Πρόωρη αποκόλληση λόγω ανεπάρκειας σύνδεσης

49

“ΚΛΕΙΣΤΕΣ” ΕΝΙΣΧΥΣΕΙΣ

- Για ΙΟΠ απαιτείται επαρκής υπερκάλυψη των άκρων του (150 έως 200mm)
- “Ανοικτές” Ενισχύσεις με εξασφάλιση πλήρους αγκύρωσης των άκρων = ονοιά “κλειστές”

$$\sigma_{jd} \leq \frac{1}{\gamma_m} f_{jk}$$

Για Χάλυβα

$$\gamma_m = 1,2$$

$$f_{jk} = f_{syk}$$

Για ΙΟΠ

$$\gamma_m = 1,2$$

$$f_{jk} = E_j \cdot \varepsilon_{j,crit}$$

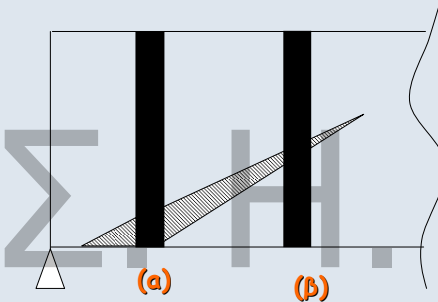
$$\varepsilon_{j,crit} = k_v \cdot \varepsilon_{j,max}$$

$$k_v = 0,5$$

$$\varepsilon_{j,max} = \min(\psi \varepsilon_{ju}, 1,5\%) \quad \psi = k^{-1/4}$$

50

ΔΙΑΤΜΗΤΙΚΗ ΕΝΙΣΧΥΣΗ ΜΕ Ι.Ο.Π.



- Η τάση στις ίνες εξαρτάται από το εύρος της ρωγμής που γεφυρώνουν.
 - Δεν υπάρχει ανακατανομή της έντασης
 - Αστοχούν οι ίνες στη θέση (α) πριν καλά-καλά ενεργοποιηθούν οι ίνες στην θέση (β)
- ➔ Μέση τιμή αντοχής $\approx \frac{1}{2} \max$ Αντοχής ➔ $k_v = 0,5$

51

“ΑΝΟΙΚΤΕΣ” ΕΝΙΣΧΥΣΕΙΣ

$$\sigma_{jd} \leq \frac{\sigma_{j,crit}}{\gamma_{Rd}} \quad \sigma_{jd,crit} = k_v \sigma_{j,max} < \sigma_{jd,“κλειστό”} \quad \gamma_{Rd} = 1,2$$

Μέγιστη τάση για να αποφευχθεί η αποκόλληση

$$\sigma_{j,max} = \beta \frac{\tau_b^{α_{ποκ.}}}{t_j} L_e = \beta \sqrt{\frac{E_j \cdot f_{ctm}}{2t_j}} \quad \beta = \beta_w \cdot \beta_L$$

Για ΙΟΠ

$$k_v = \begin{cases} 0,525 & \lambda \leq 0,5 \\ 0,40 + 0,25 \lambda & \text{για } \lambda > 0,5 \end{cases}$$

$$\lambda = \frac{\text{διατιθέμενο μήκος}}{\text{μήκος αγκύρωσης}} = \frac{L_{av}}{L_e} = \frac{h_{j,ef}}{L_e}$$

Για Χάλυβα

$$\text{Av } \sigma_{jd,crit} \geq \sigma_{jd,“κλειστό”} \quad k_v = 1,0$$

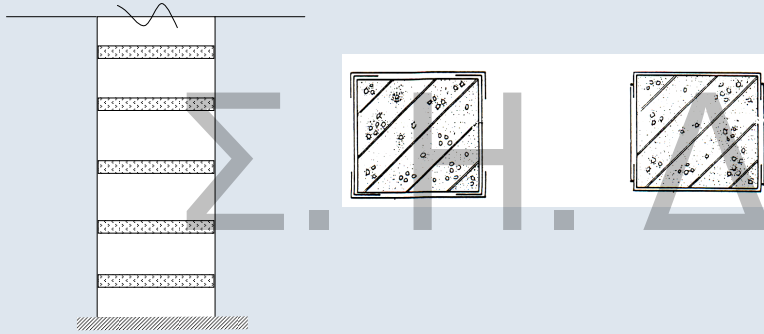
$$\text{Av } \sigma_{jd,crit} < \sigma_{jd,“κλειστό”} \quad k_v \text{ όπως ΙΟΠ}$$

52

ΑΥΞΗΣΗ ΤΟΠΙΚΗΣ ΠΛΑΣΤΙΜΟΤΗΤΑΣ

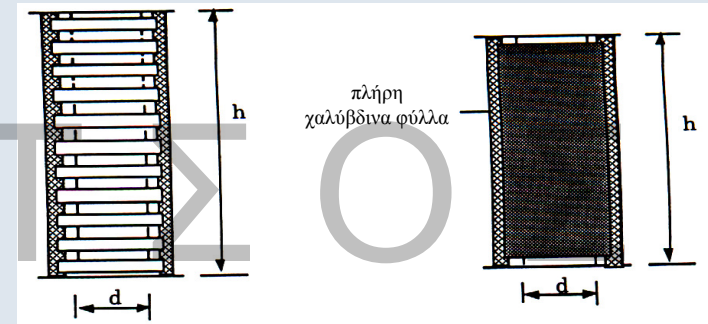
Με κολάρα από χάλυβα ή ΙΟΠ

- επικολητά ή προεντεταμένα



53

Περίσφιγξη με μεταλλικό κλωβό ή μεταλλικό μανδύα



54

ΜΕΤΑΛΛΙΚΟΣ ΚΛΩΒΟΣ



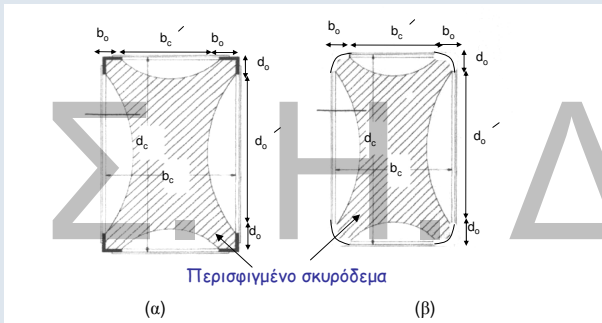
55



56

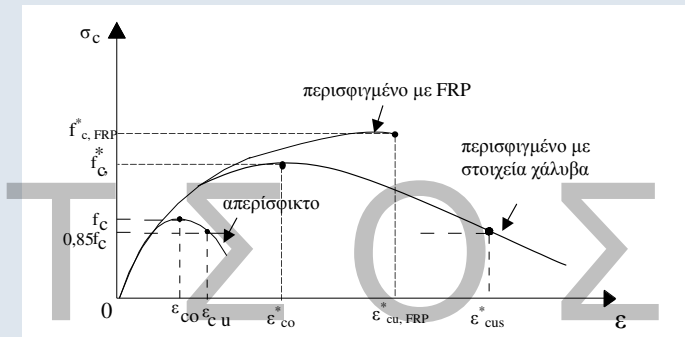


57



(α) : Περίσιφιξη με μεταλλικό κλωβό
 (β): Περίσιφιξη με ινοπλισμένα πολυμερή

59



Χαλύβδινη περίσιφιξη

$$\epsilon_{cu}^* = 0,0035 + 0,1\alpha_w$$

Περίσιφιξη ΙΟΠ με ίνες άνθρακος

$$\epsilon_{cu}^* = 0,0035 (f_c^* : f_c)^2$$

Περίσιφιξη ΙΟΠ με ίνες γυαλιού

$$\epsilon_{cu}^* = 0,007 (f_c^* : f_c)^2$$

όπου $f_c^* = (1,125 + 1,25\alpha_w) f_c$

ΑΠΑΙΤΟΥΜΕΝΟΣ ΟΠΛΙΣΜΟΣ ΠΕΡΙΣΦΙΞΗΣ – ΑΥΞΗΣΗ ΠΛΑΣΤΙΜΟΤΗΤΑΣ

Απαίτηση Στοχευόμενου q :

- Υπολογίζεται ο απαιτούμενος δείκτης συμπεριφοράς $q_u = q/q_o$ (q_o παράγοντας υπεραντοχής δομήματος κατά EC8)
- Υπολογίζεται ο απαιτούμενος δείκτης πλαστιμότητας σε όρους μετακινήσεων:

$$\mu_d = \begin{cases} q_u & \text{όταν } T > T_2 \\ 1 + \frac{T_2}{T} (q_u - 1) & \text{όταν } T < T_2 \end{cases}$$

- Υπολογίζεται η απαιτούμενη τιμή του δείκτη πλαστιμότητας σε όρους καμπυλότητας :
($\mu_d - 1$):($\mu_{1/r} - 1$) = 3
- Υπολογίζεται η απαιτούμενη μέγιστη θλιπτική παραμόρφωση σκυροδέματος:

$$\epsilon_{cu}^* = 2,5 \cdot \mu_{1/r} \cdot \epsilon_{sy} \cdot \nu$$

- Ογκομετρικό μηχανικό ποσοστό περίσφιξης ω_w :

Χαλύβδινη Περίσφιξη: $\epsilon_{cu}^* = 0,0035 + 0,1 \cdot \alpha \cdot \omega_w$

Περίσφιξη με CFRP: $\epsilon_{cu}^* = 0,0035 (f_c^* : f_c)^2$

Περίσφιξη με GFRP: $\epsilon_{cu}^* = 0,007 (f_c^* : f_c)^2$ με $f_c^* = (1,125 + 1,25 \cdot \alpha \cdot \omega_w) f_c$

61

ΑΠΑΙΤΟΥΜΕΝΟΣ ΟΠΛΙΣΜΟΣ ΠΕΡΙΣΦΙΞΗΣ – ΑΥΞΗΣΗ ΠΛΑΣΤΙΜΟΤΗΤΑΣ

Απαίτηση Στοχευόμενου m :

Ομοίως με δείκτη συμπεριφοράς q , μόνο που το μ_d αντικαθίσταται με m_{opt} .

Απαίτηση Επιθυμητής Ικανότητας Γωνίας Στροφής Χορδής θ_u :

Υπολογίζεται η $\mu_{1/r}$ μέσω αξιόπιστων συσχετισμών με τη μ_θ

$$\theta_{u,opt} = \mu_{\theta,opt} \cdot \theta_y$$

Όπου η θ_y :

Για δοκούς ή υποστυλώματα

Για τοιχώματα

$$\theta_y = (1/r)_y \frac{L_s + a_y z}{3} + 0,0013 \left(1 + 1,5 \frac{h}{L_s} \right) + \frac{(1/r)_y d_b f_y}{8 \sqrt{f_c}} \quad \theta_y = (1/r)_y \frac{L_s + a_y z}{3} + 0,002 \left(1 - 0,125 \frac{L_s}{h} \right) + \frac{(1/r)_y d_b f_y}{8 \sqrt{f_c}}$$

Η συσχέτιση των μ_θ και μ_d γίνεται μέσω των σχέσεων:

- $\mu_\theta = \mu_d$ μη σχηματισμός πλαστικού μηχανισμού ορόφων
- $\mu_\theta = \mu_d \frac{H_{tot}}{H_{op}}$ πιθανός σχηματισμός πλαστικού μηχανισμού σε όροφο

$$\mu_{1/r,opt} = 3\mu_{d,opt} - 2 \quad \rightarrow \quad \epsilon_{cu,opt}^* \quad \rightarrow \quad \omega_{w,opt}$$

62

ΕΝΙΣΧΥΣΗ ΚΟΜΒΩΝ

Ανεπάρκεια Έναντι Διαγώνιας Θλίψης

- Αύξηση διαστάσεων μανδύα (για ικανοποίηση κριτηρίων παρ.7.2.5)

Ανεπάρκεια Οπλισμού Κόμβου

- Προσθήκη μανδύα από οπλισμένο σκυρόδεμα
- Προσθήκη χιαστί κολλάρων από χαλύβδινα στοιχεία
- Προσθήκη επικολητών ελασμάτων (από χάλυβα ή ΙΟΠ) ή υφασμάτων ΙΟΠ
- Αποκατάσταση ίσης διατομής και προσθήκη οπλισμών

63

ΕΝΙΣΧΥΣΗ ΚΟΜΒΩΝ

Προσθήκη Μανδύα από Ο.Σ.

- Αν οι διαστάσεις του κόμβου δεν αποτρέπουν τη διαγώνια εφελκυστική ρηγμάτωση (ΚΑΝ.ΕΠΕ., Κεφ. 7) ο οπλισμός του μανδύα στην περιοχή του κόμβου υπολογίζεται:

Οριζόντιος Οπλισμός

$$A_{jh} = \frac{V_{jh}}{f_{ywd}}$$

Κατακόρυφος Οπλισμός

$$A_{jv} = \frac{V_{jv}}{f_{ywd}}$$

όπου οι V_{jh} και V_{jv} υπολογίζονται ανάλογα με:

$$\Sigma M_{yb} < \Sigma M_{yc} \quad \text{ή} \quad \Sigma M_{yb} > \Sigma M_{yc}$$

64

ΕΝΙΣΧΥΣΗ ΚΟΜΒΩΝ

Προσθήκη χιαστί κολλάρων από χαλύβδινα στοιχεία



65

ΕΝΙΣΧΥΣΗ ΚΟΜΒΩΝ

Προσθήκη χιαστί κολλάρων από χαλύβδινα στοιχεία

- Απαιτούμενη Διατομή Χαλύβδινων Στοιχείων σε κάθε Διαγώνια διεύθυνση δίνεται από τη σχέση:

$$A_{j\delta} = \frac{F_{j\delta}}{\gamma_{Rd} f_{yd}}$$

Όπου η διαγώνια εφελκυστική δύναμη στον κόμβο ($F_{j\delta}$) ισούται με:

$$F_{j\delta} = \frac{V_{jh}}{h} h_{\delta} = \frac{V_{jv}}{h_b} h_{\delta}$$

h_{δ} : μήκος διαγωνίου του κόμβου

V_{jh} , V_{jv} : δίνονται από τους ίδιους τύπους για τους μανδύες

66

ΕΝΙΣΧΥΣΗ ΚΟΜΒΩΝ

Προσθήκη επικολλητών ελασμάτων από χάλυβα



67



CEA, Sacley

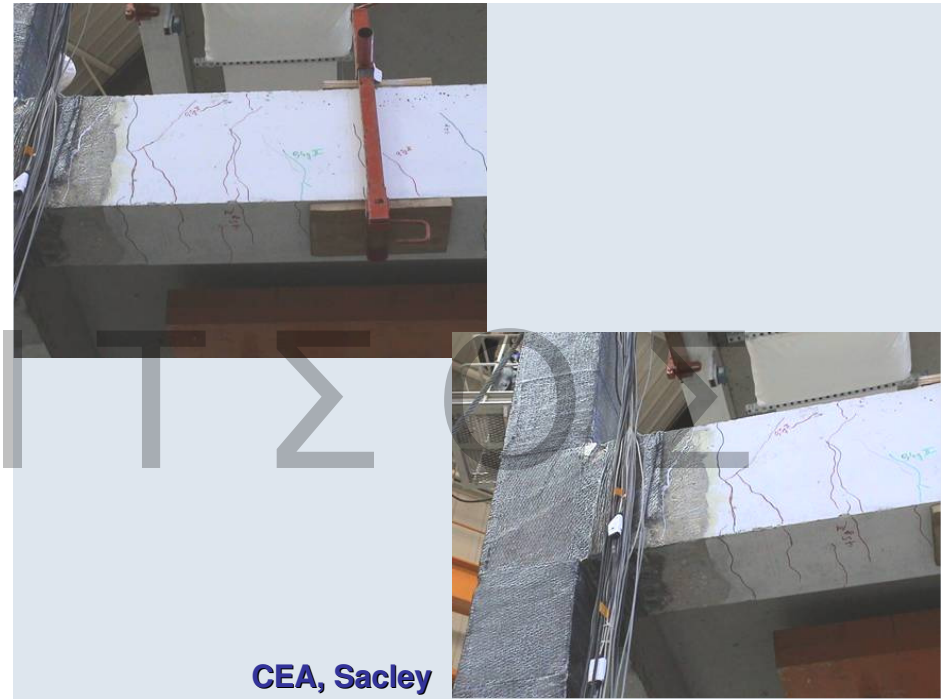
68

Ενίσχυση κόμβων με ΙΟΠ



CEA, Sacley

69



CEA, Sacley

ΕΝΙΣΧΥΣΗ ΚΟΜΒΩΝ

Προσθήκη επικολλητών ελασμάτων (από χάλυβα ή ΙΟΠ) ή υφασμάτων ΙΟΠ

- Ελάσματα από χάλυβα:

$$t_{ελ} \geq \max \left(\frac{V_{jh}}{h_b \sigma_{jd}}, \frac{V_{jv}}{h_c \sigma_{jd}} \right)$$

- Ελάσματα ή Υφάσματα από ΙΟΠ:
Απαιτούνται ίνες και προς τις δύο διευθύνσεις.

Ίνες // άξονα δοκού

Ίνες // άξονα υποστυλώματος

$$t_{jh} = \frac{V_{jh}}{h_d \sigma_{jd}}$$

$$t_{jv} = \frac{V_{jv}}{h_c \sigma_{jd}}$$

71

ΕΝΙΣΧΥΣΗ ΚΟΜΒΩΝ

Αποκατάσταση ίσης διατομής και προσθήκη οπλισμών

- Η Αποκατάσταση ίσης Διατομής γίνεται με την προσθήκη οριζόντιων και κατακόρυφων συνδετήρων.

Η συνολική διατομή τους υπολογίζεται από τις σχέσεις:

$$A_{jh,tot} \geq \frac{\gamma_{Rd} V_{jh}}{f_{ywd}}$$

$$A_{jv,tot} \geq \frac{\gamma_{Rd} V_{jv}}{f_{ywd}}$$

Οριζόντιοι συνδετήρες

Κατακόρυφοι Συνδετήρες

72

Επισκευή με ρητινένεσις

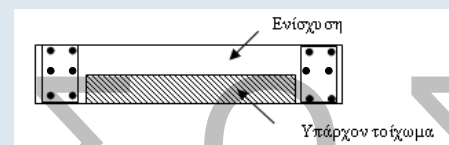


CEA, Sacley

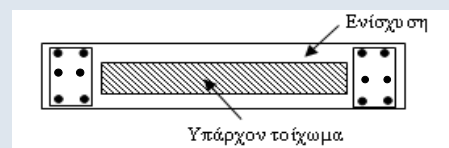
73

ΕΝΙΣΧΥΣΗ ΤΟΙΧΩΜΑΤΩΝ

- Αποκατάσταση Ανεπαρκών Αναμονών Όπως και στα υποστυλώματα
- Αύξηση Φέρουσας Ικανότητας Έναντι Κάμψης
 - ✓ Προσθήκη υποστυλωμάτων στα άκρα
 - ✓ Μονόπλευρη ενίσχυση και προσθήκη υποστυλωμάτων



- ✓ Ολόπλευρος κλειστός μανδύας (συνιστάται)



74

ΕΝΙΣΧΥΣΗ ΤΟΙΧΩΜΑΤΩΝ

- Αύξηση Φέρουσας Ικανότητας Έναντι Τέμνουσας
 - ✓ Ανεπάρκεια λόγω λοξής θλίψης κορμού
Προσθήκη νέων στρώσεων σκυροδέματος ή μανδύα
 - ✓ Ανεπάρκεια σπλισμού διάτμησης
Προσθήκη Εξωτερικών στοιχείων χάλυβα ή ΙΟΠ ή μανδύας
- Ολίσθηση Τοιχώματος
 - ✓ Προσθήκη κατακόρυφων μεταλλικών στοιχείων εκατέρωθεν του αρμού
 - ✓ Τοπικός μανδύας
- Αύξηση Πλαστιμότητας (Δεν προσφέρονται οι μέθοδοι περίσφιξης)
 - ✓ Αύξηση διατομής θλιβόμενου πέλματος με προσθήκη εγκάρσιου τοιχώματος με τοπική διεύρυνση του άκρου
 - ✓ Τοποθέτηση εγκαρσίων διαμπερών σφικτήρων

75

ΕΜΦΑΤΝΩΣΗ ΠΛΑΙΣΙΩΝ

- Σημαντική Αύξηση της Δυσκαμψίας και της Σεισμικής αντίστασης του φορέα

Μορφές:

- Προσθήκη Απλού “Γεμίματος”
- Τοιχωματοποίηση Πλαισίου
- Ενίσχυση Υφισταμένων Τοίχων Πληρώσεως

Κρίσιμα σημεία της μελέτης

- Έλεγχος επάρκειας μεταφοράς τέμνουσας στις στάθμες των ορόφων
- Μικρή Αξονική → Μειωμένη Ενεργός Δυσκαμψία, Μεγάλη Στροφή στο Θεμέλιο

Κατασκευαστικά θέματα

- Δυσκολία σκυροδέτισης (ανεπαρκής πρόσβαση στην κορυφή)
- Αντιμετώπιση συστολής ξήρανσης

76

ΠΡΟΣΘΗΚΗ ΑΠΛΟΥ “ΓΕΜΙΣΜΑΤΟΣ”

- Τοιχώματα από: α) Άοπλο ή οπλισμένο σκυρόδεμα (επί τόπου κατασκευαζόμενα ή προκατασκευασμένα)
β) Άοπλη ή οπλισμένη τοιχοποιία
- Δεν λαμβάνονται ειδικά μέτρα σύνδεσης του γεμίματος με το πλαίσιο
- Προσομοίωση του γεμίματος μέσω διαγώνιου θλιπτήρα
- Χαμηλή πλαστιμότητα. Συνιστάται $m \leq 1,5$

Προσοχή

Πρόσθετες Τέμνουσες σε Δοκούς και Υποστυλώματα

77

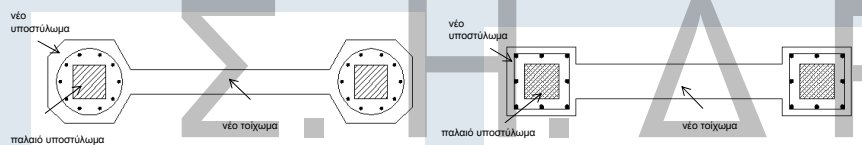
ΤΟΙΧΩΜΑΤΟΠΟΙΗΣΗ ΠΛΑΙΣΙΟΥ

- Εμφάνιση πλαισίων με Οπλισμένο Σκυρόδεμα
- Απαιτείται Εξασφάλιση της σύνδεσης με το περιβάλλον πλαίσιο
- Κατασκευή κλειστών μανδυνών στα υποστυλώματα εκατέρωθεν του νέου τοιχώματος με κατακόρυφους συνεχείς οπλισμούς και οπλισμό περισφιξης.

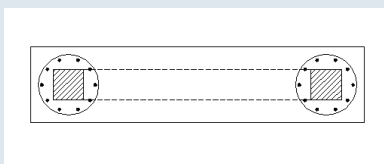
78

ΤΟΙΧΩΜΑΤΟΠΟΙΗΣΗ ΠΛΑΙΣΙΟΥ

Εμφανώσεις πάχους μικρότερου ή ίσου με το πλάτος της δοκού



Εμφανώσεις πάχους μεγαλύτερου του πλάτους της δοκού



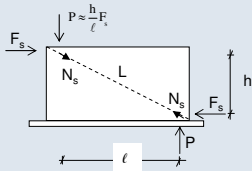
79



80

ΤΟΙΧΩΜΑΤΟΠΟΙΗΣΗ ΠΛΑΙΣΙΟΥ

Προσομοίωμα Ελέγχου Επάρκειας



Ασκούμενη Τένουσα στο Τοίχωμα:

$$F_s = V_s - \frac{2V_{Rc}}{\gamma_{sd}}$$

Έλεγχος Αντίστασης Φαντώματος:

- Θλίψη Διαγώνιου Θλιπτήρα:

$$N_s = \frac{L}{\ell} F_s \quad N_R = \lambda f'_c t_w b_w$$

$$f'_c = 0,6 f_c$$

b_w = ενεργό πλάτος διαγώνιου θλιπτήρα
 $\lambda \approx 0,4$, συντελεστής απομένουσας απόκρισης του διαγώνιου θλιπτήρα μετά την υπέρβαση της κρίσιμης παραμόρφωσής του

- Διάτμηση κατά Μήκος των Διεπιφανειών:

$$F_{\beta\lambda, \text{οριζ.}} = F_s - \frac{\ell}{L} N_R > \frac{1}{2} n_v D_u$$

$$F_{\beta\lambda, \text{κατ.}} = \frac{h}{\ell} F_{\beta\lambda, \text{οριζ.}} > \frac{1}{2} n_v D_u$$

Ελάχιστη ποσότητα βλήτρων 3Φ16 ανά μέτρο της περιμέτρου και ρ_{\min}

81

ΕΝΙΣΧΥΣΗ ΥΦΙΣΤΑΜΕΝΩΝ ΤΟΙΧΩΝ ΠΛΗΡΩΣΕΩΣ

- Με αμφίπλευρες στρώσεις εκτοξευόμενου σκυροδέματος
 Ελάχιστο πάχος 35 mm
 Ελάχιστη Αντοχή 30 MPa
 Χρήση αναστολέων διάβρωσης

Εξασφάλιση της από κοινού λειτουργίας υφιστάμενης τοιχοποιίας με τις δύο στρώσεις ενίσχυσης: Έλεγχος διατμητικής ικανότητας διεπιφανειών, Διαμπερής σύνδεση νέων πλεγμάτων μέσω σιγμοειδών συνδέσμων (τουλάχιστον 2 /m²)

- Αντίσταση ενισχυμένου τοίχου = Αντίσταση λοξού θλιπτήρα με αντοχή

$$f_{wc,fd} = \frac{t \cdot f_{wcd} + a_c \cdot \Delta t \cdot f_{cd}}{t_w}$$

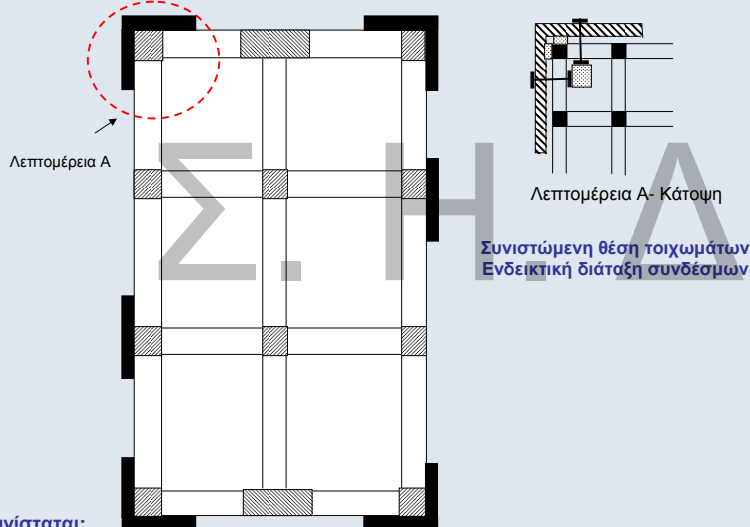
υπό την προϋπόθεση $V_s \leq V_{u,w}$ (Διατμητική αντίσταση κορμού)

$$V_{u,w} = \frac{1}{\gamma_{Rd}} \left[\frac{0,3}{\sqrt{a_s}} (f_{wtd} + \sigma_0) + \lambda_\varepsilon \cdot \rho_v + h \cdot f_{wyd} \right] \cdot L_w \cdot t_w$$

82

ΠΡΟΣΘΗΚΗ ΝΕΩΝ ΠΑΡΑΠΛΕΥΡΩΝ ΤΟΙΧΩΜΑΤΩΝ Η ΧΑΛΥΒΔΙΝΩΝ ΔΙΚΤΥΩΜΑΤΩΝ

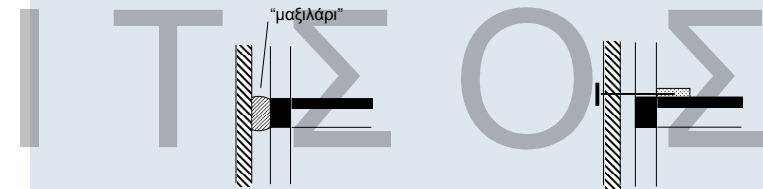
(Λύση που απαιτεί ιδιαίτερα υψηλή μελετητική και κατασκευαστική εμπειρία)



Συνίσταται:

- (α) Ο συνδυασμός της θεμελίωσης των νέων τοιχωμάτων με τις υφιστάμενες θεμελιώσεις
- (β) Η κατά το δυνατόν αύξηση της αξονικής δύναμης που θα αναλάβουν τα νέα τοιχώματα κατά τον σεισμό

83



(α) τομή σε θλιπτικό σύνδεσμο

(β) τομή σε εφελκυστικό σύνδεσμο

84

ΠΡΟΣΘΗΚΗ ΔΙΚΤΥΩΤΩΝ ΣΥΣΤΗΜΑΤΩΝ



85



87

ΠΡΟΣΘΗΚΗ ΔΙΚΤΥΩΤΩΝ ΣΥΣΤΗΜΑΤΩΝ

Κυρίως αύξηση δυσκαμψίας & πλαστιμότητας

Τύπος

- Χιαστί διαγωνίων, σχήματος Λ ή V, ορθού ή ανεστραμμένου Υ.
- Απαγορεύεται η μορφή Κ

Εμφανιζόμενα ή Παράπλευρα

Κρίσιμα σημεία της μελέτης

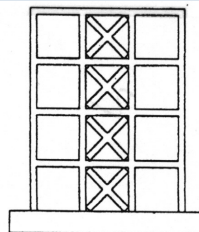
- Αξιολόγηση ανακαταννομής έντασης
- Επάρκεια αντοχής κόμβων

Κατασκευαστικές

- Απαιτείται εξειδικευμένη εμπειρία

Λεπτομέρειες

- Προτιμάται η εμφάνιση της μεταλλικής δικτύωσης, έστω και μόνο στα υποστυλώματα. π.χ. στο εσωτερικό του κτιρίου χωρίς καθαίρεση των τοιχοπληρώσεων
- Συνιστάται η κατασκευή μεταλλικού περιμετρικού πλαισίου
- Οι ατέλειες προσαρμογής στον περιβάλλοντα φέροντα οργανισμό αντιμετωπίζονται με την κατασκευή πρόσθετης στρώσης σκυροδέματος σύνδεσης μεταλλικού πλαισίου και Φ.Ο.



88

ΠΡΟΣΘΗΚΗ ΔΙΚΤΥΩΤΩΝ ΣΥΝΔΕΣΜΩΝ ΕΛΑΣΤΙΚΗ ΑΝΑΛΥΣΗ

Ανάλογα με την **Στάθμη Επιτελεστικότητας** και τον **τύπο συνδέσμων** προτείνονται συντελεστές συμπεριφοράς q υπό προϋποθέσεις:

- ✓ Συμμετρικής διάταξης και διατομών
- ✓ Ομαλής κατανομής υπεραντοχής σε κάτοψη και καθ' ύψος
- ✓ Υπεραντοχή κατακορύφων και οριζοντίων στοιχείων έναντι των ράβδων δικτύωσης
- ✓ κ.α

Στάθμες Επιτελεστικότητας Β ("προστασία ζωής") και **Γ** ("αποφυγή οιοσεί κατάρρευσης")

Πρωτεύοντα:

- (α) τα στοιχεία των Δικτυωτών Συνδέσμων
- (β) τα περιβάλλοντα "σύμμεκτα" κατακόρυφα και οριζόντια στοιχεία

Στάθμη Επιτελεστικότητας Α ("άμεση χρήση μετά τον σεισμό")

- ✓ Όλα τα στοιχεία του δομήματος συμμετέχουν στο προσομοίωμα
- ✓ $q=1,00$

89

ΠΡΟΣΘΗΚΗ ΔΙΚΤΥΩΤΩΝ ΣΥΣΤΗΜΑΤΩΝ

Υπό προϋποθέσεις προτείνεται:

- Για Σ.Ε. Β «Προστασία Ζωής»:
 - Απλές διαγώνιες ράβδους και δισδιαγώνιες δικτύωσεις τύπου Χ: $q = 3,5$
 - Δικτύωσεις τύπου V ή Λ : $q = 1,5 - 2$ ανάλογα με τον τύπο διατομής δικτύωσης
- Για Σ.Ε. Γ «Αποφυγή οιοσεί κατάρρευσης»: Αύξηση των ανωτέρω κατά 35%

Για δικτυωτά συστήματα με εκκεντρότητα (παρουσία δοκού σύζευξης – «σεισμικού συνδέσμου»)

Υπό προϋποθέσεις

- Για Σ.Ε. Β «Προστασία Ζωής»: $q = 5$
- Για Σ.Ε. Γ «Αποφυγή οιοσεί κατάρρευσης»: $q = 7$

Εν γένει για Σ.Ε. Α «Άμεση χρήση μετά από σεισμό»: $q = 1$

Σ. Η. ΔΡΙΤΣΟΣ

90

ΠΡΟΣΘΗΚΗ ΔΙΚΤΥΩΤΩΝ ΣΥΣΤΗΜΑΤΩΝ ΑΝΕΛΑΣΤΙΚΗ ΑΝΑΛΥΣΗ

- ✓ Όλα τα στοιχεία του ενισχυμένου δομήματος συμμετέχουν στο προσομοίωμα
- ✓ Ελαστοπλαστική συμπεριφορά ράβδων δικτύωσης

$$F_y = F_{\text{διαρροής}}$$

$$F_y = 20\% F_{\text{λυγισμού}}$$

$$\delta_u = 12\delta_y$$

$$\delta_u = 8-10 \delta_{\text{λυγισμού}}$$

για εφελκόμενα μέλη
για θλιβόμενα μέλη
για εφελκόμενα μέλη
για θλιβόμενα μέλη

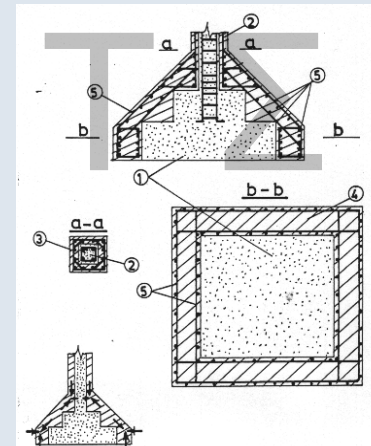
91

ΕΝΙΣΧΥΣΕΙΣ ΣΤΟΙΧΕΙΩΝ ΘΕΜΕΛΙΩΣΗΣ

- Ανεπάρκεια επιφάνειας έδρασης
- Ανεπαρκές ύψος



Αύξηση διαστάσεων
Συνδυασμός με ενίσχυση κατακόρυφων μελών



$$\sum A_{sw} \geq \frac{P_n \tan \alpha}{f_{ywd}}$$

Ενδεικτική ενίσχυση πεδίων με την τεχνική των μανδουλών, όταν η επέμβαση περιλαμβάνει και ενίσχυση του φέροντος κατακόρυφου στοιχείου

92

Ανάρτηση

www.episkeves.civil.upatras.gr

93

Σ. Η. Δ Ρ Ι Τ Σ Ο Σ